

ASPECTOS GEOLÓGICOS E GENÉTICOS DO DIAMANTE DA REGIÃO DE TIBAGI, PARANÁ

Luiz Antônio Chierigati - CPRM - Núcleo PR
Darcy Pedro Svisero - Universidade de São Paulo - USP
Antonio Liccardo - Universidade Estadual de Ponta Grossa - UEPG

Contexto



Uma revisão das informações mais relevantes sobre a **geologia** e alguns aspectos relativos ao **conhecimento da origem** dos diamantes da Bacia Hidrográfica do Tibagi.

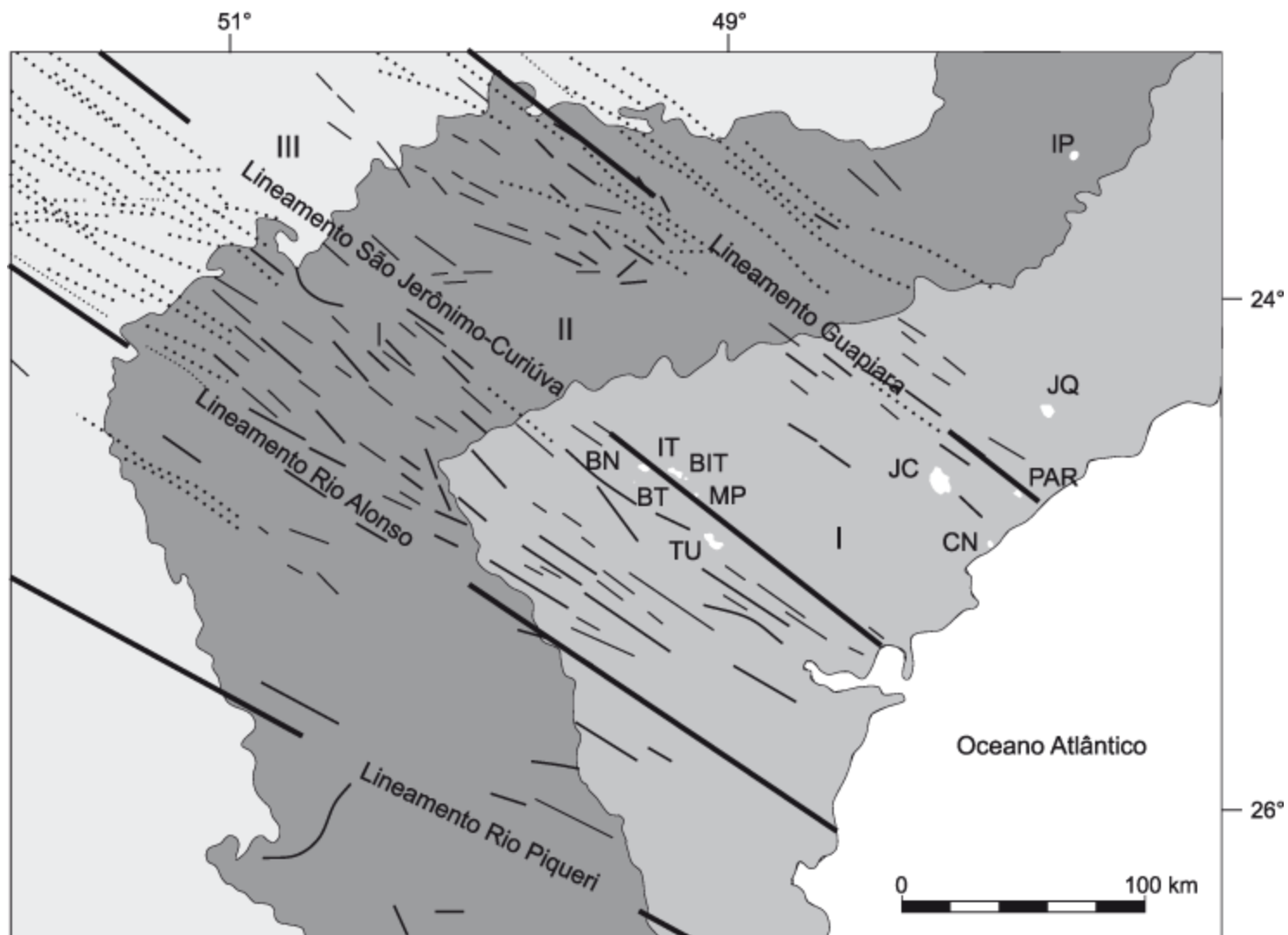
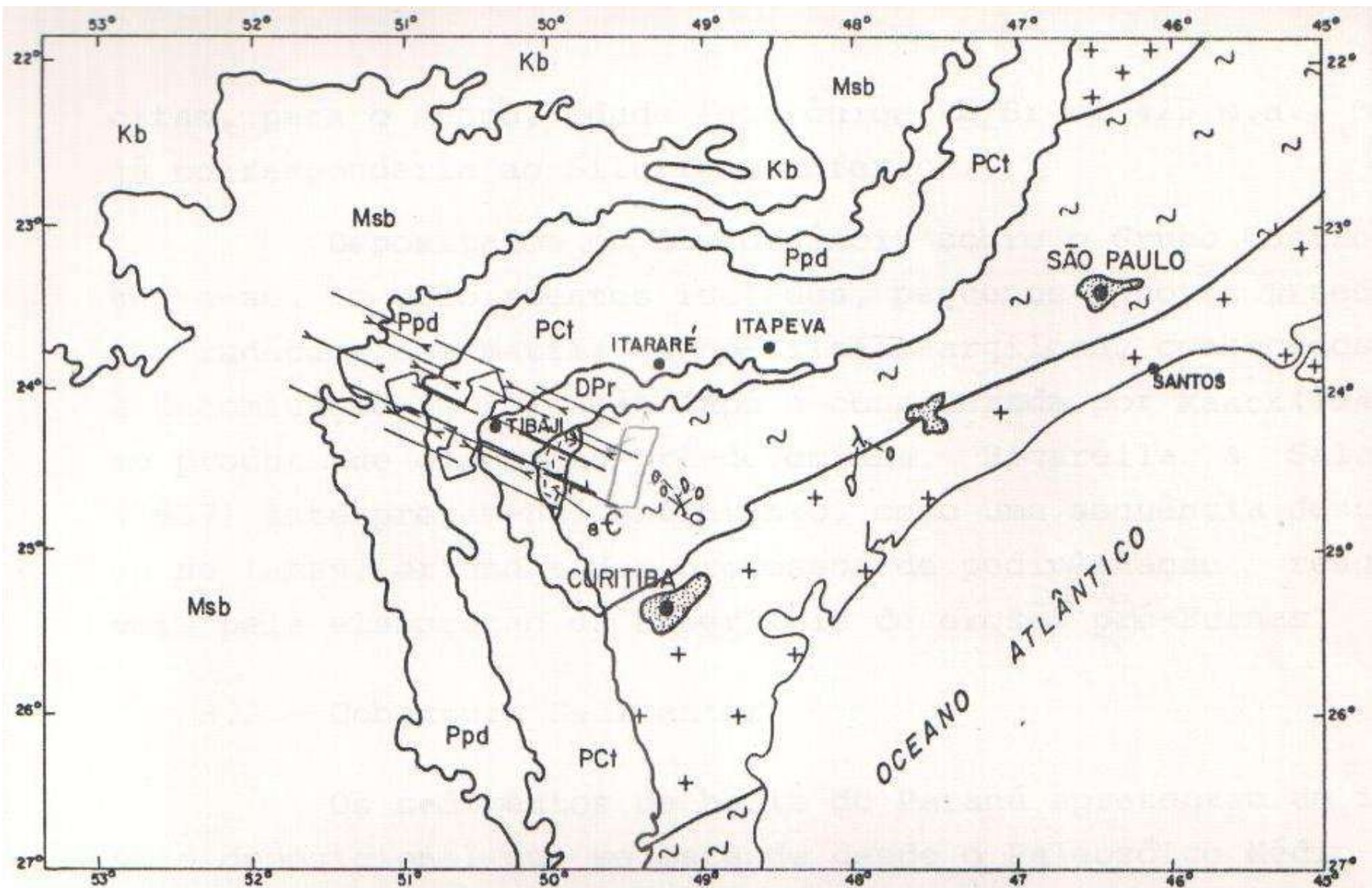


Figura 1. Condicionamento tectônico do magmatismo alcalino mesozóico no Arco de Ponta Grossa (cf. Almeida, 1983, 1986; modificado de Ruberti et al., 2005). Enxames de diques NW-SE inferidos a partir de geologia de campo, sensoriamento remoto e levantamento aeromagnético. Corpos alcalinos indicados como segue: **BIT** - Barra do Itapirapuã; **BN** - Banhadão; **BT** - Barra do Teixeira; **CN** - Cananéia; **IP** - Ipanema; **IT** - Itapirapuã; **JC** - Jacupiranga; **JU** - Jujuiá; **MP** - Mato Preto; **PAR** - Pariquera-Açu; **TU** - Tunas. Outras abreviações: **I** - embasamento cristalino; **II** - rochas sedimentares da Bacia do Paraná; **III** - basaltos toleíticos da Formação Serra Geral.

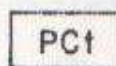


TERCIÁRIO-QUATERNÁRIO



Fm São Paulo
 Fm. Gabiro tuba
 Fm. Pariquera - Açú

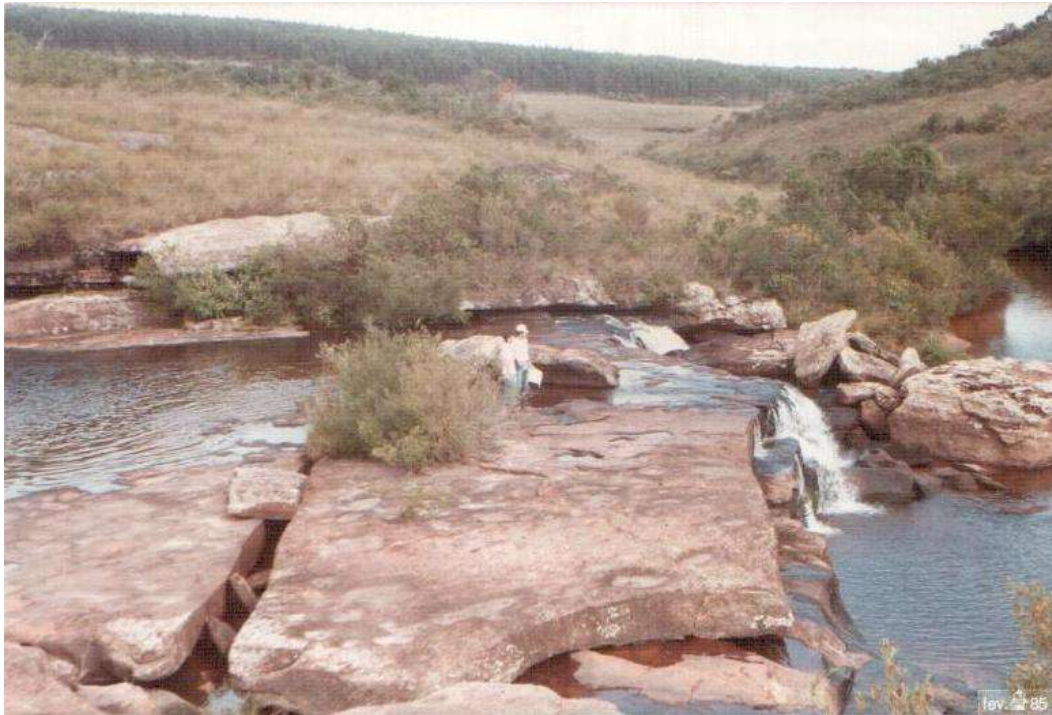
CARBONÍFERO-PERMIANO

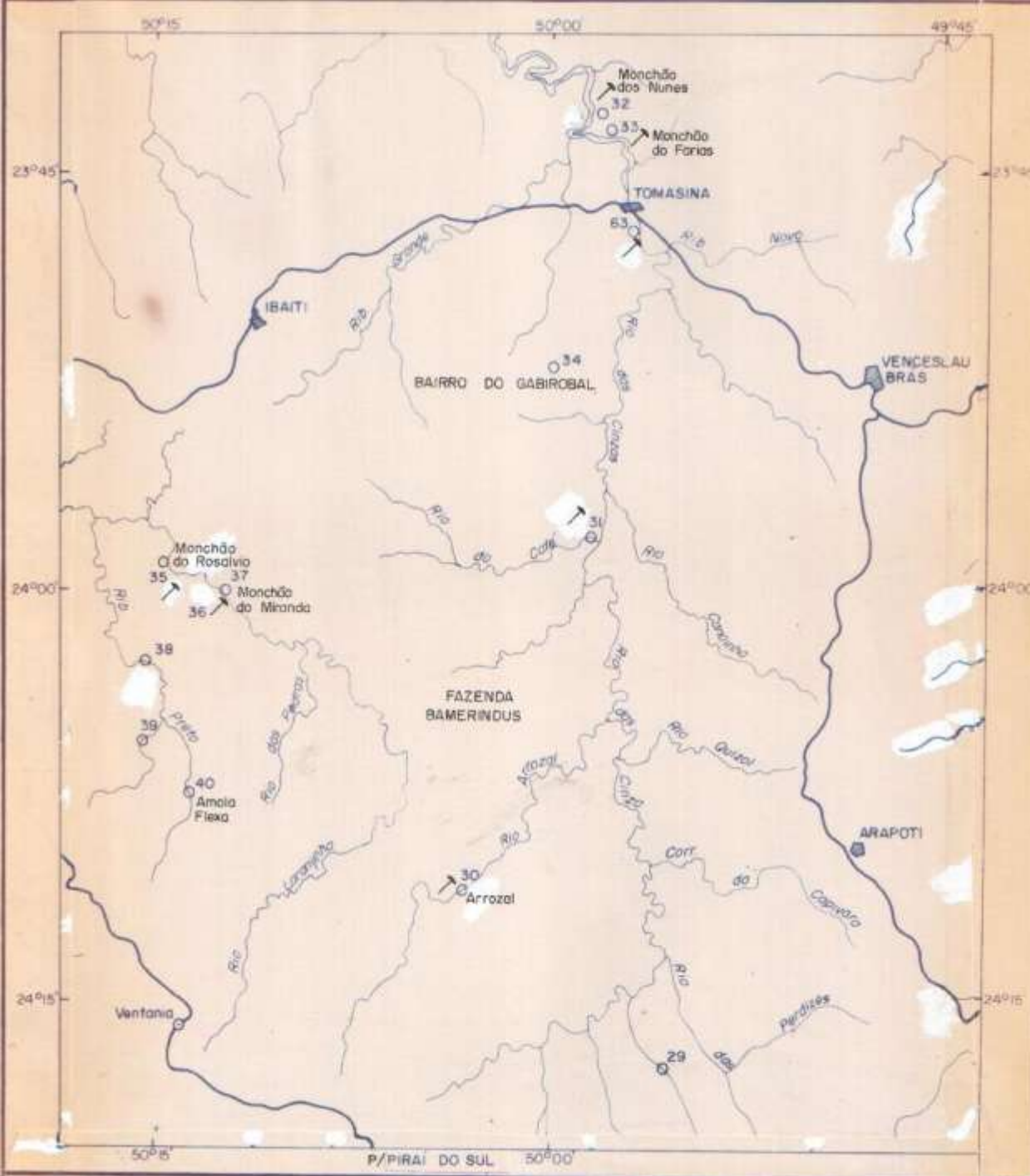


Fm. Palermo
 Gr. Tubarão Fm. Rio Bonito
 S. Gr. Itararé

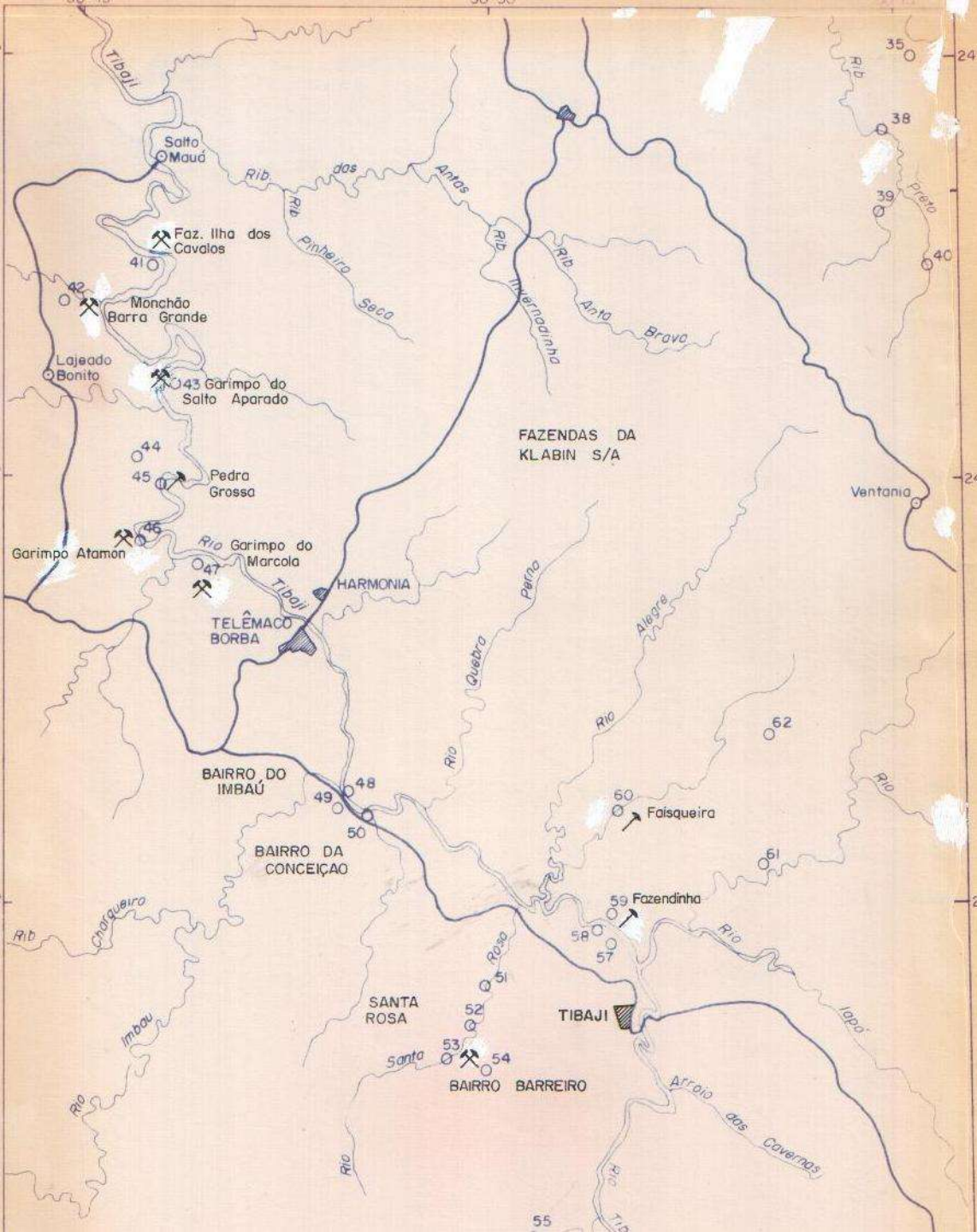


Prospecto de diamante no âmbito da Formação Furnas



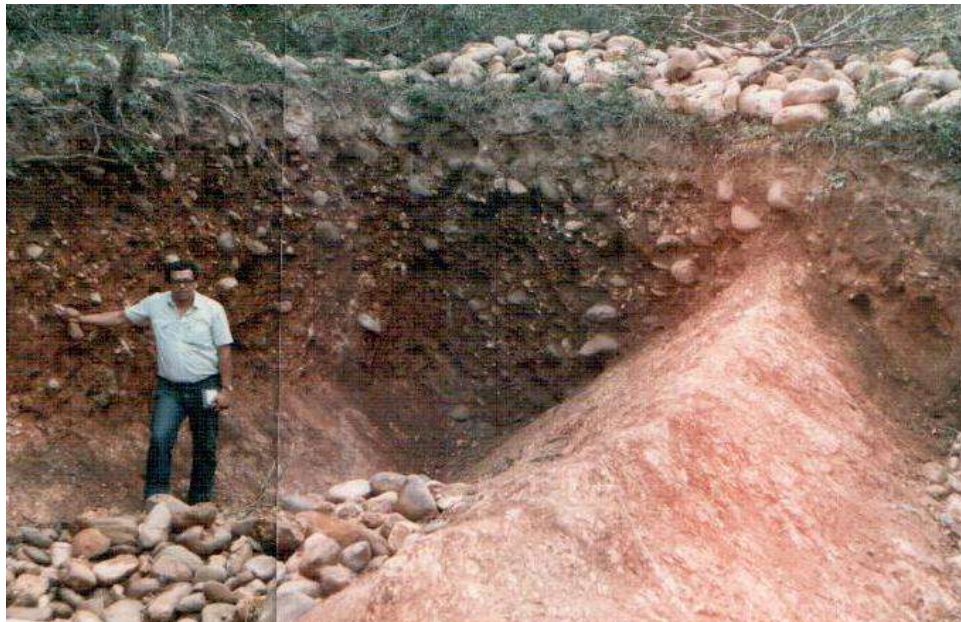


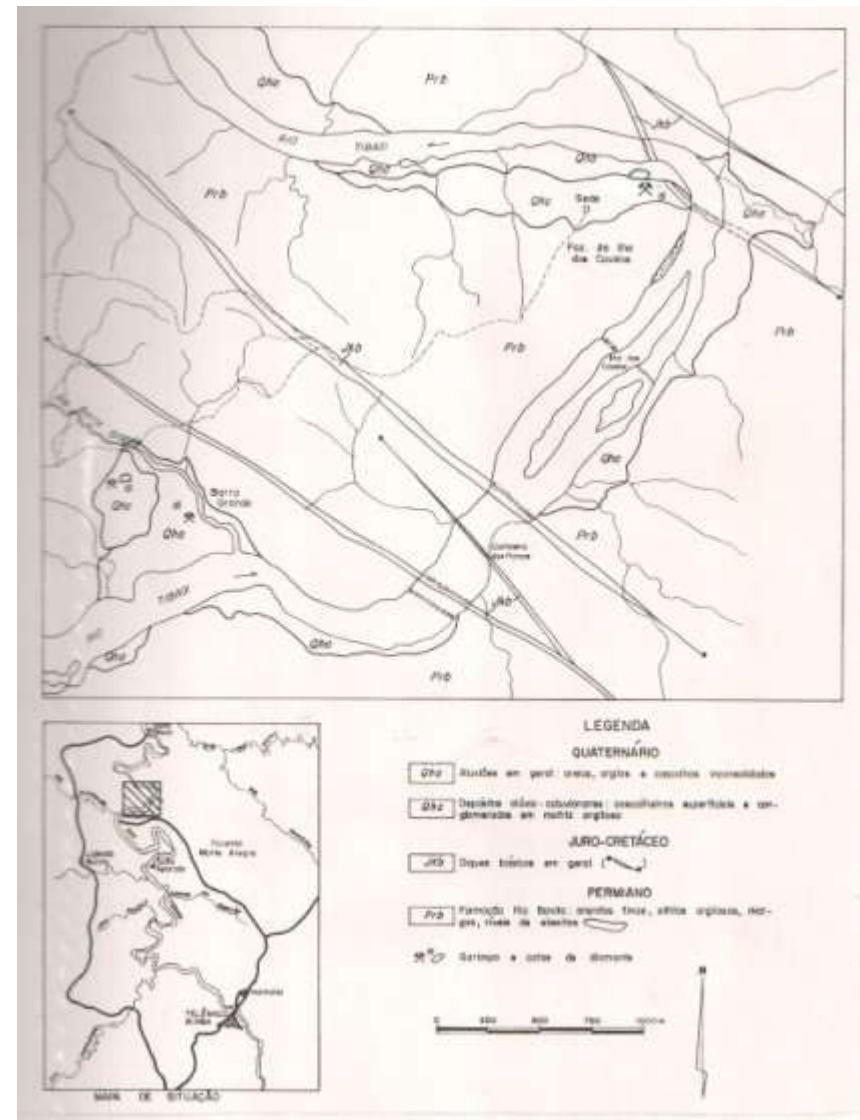
Pesquisa de
diamante – região
Ibaiti - PR



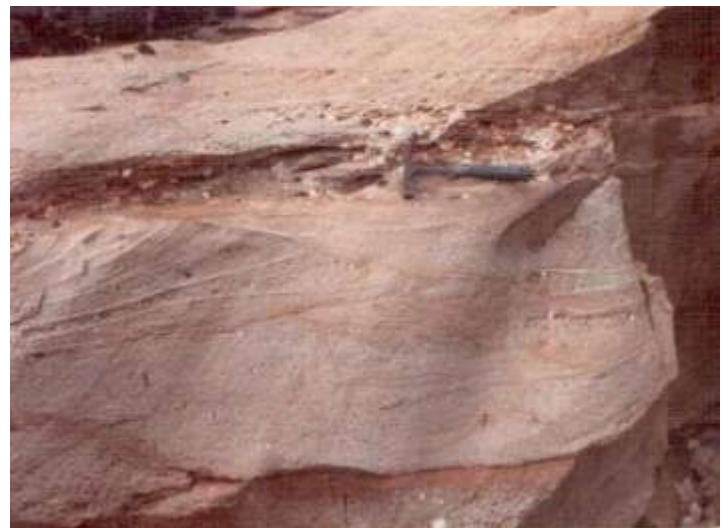
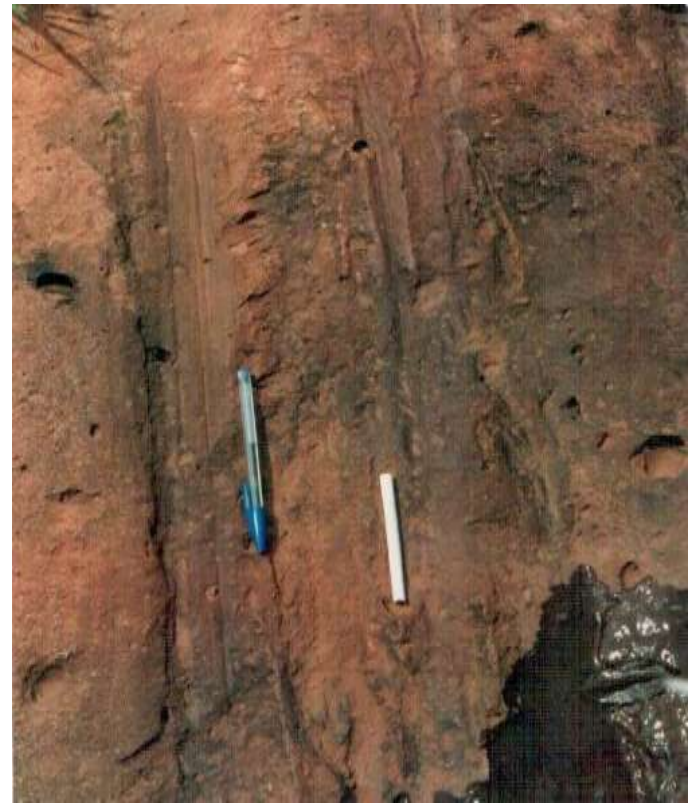
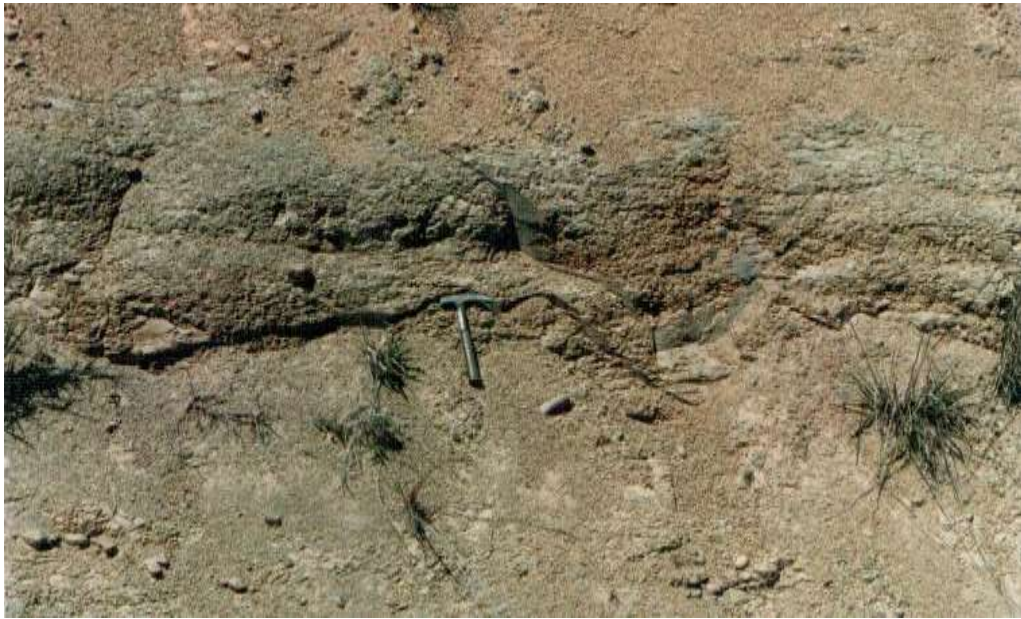
Pesquisa de diamante – região Tibagi – Telêmaco Borba - PR

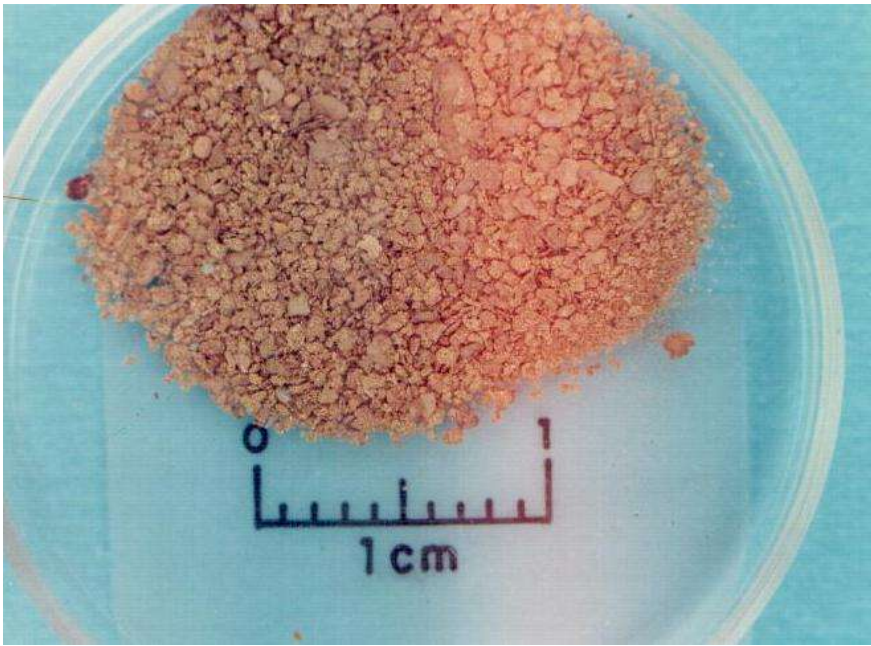
Trabalhos na Região de Barra Grande Mineropar





Trabalhos na Ilha dos Cavalos - CPRM







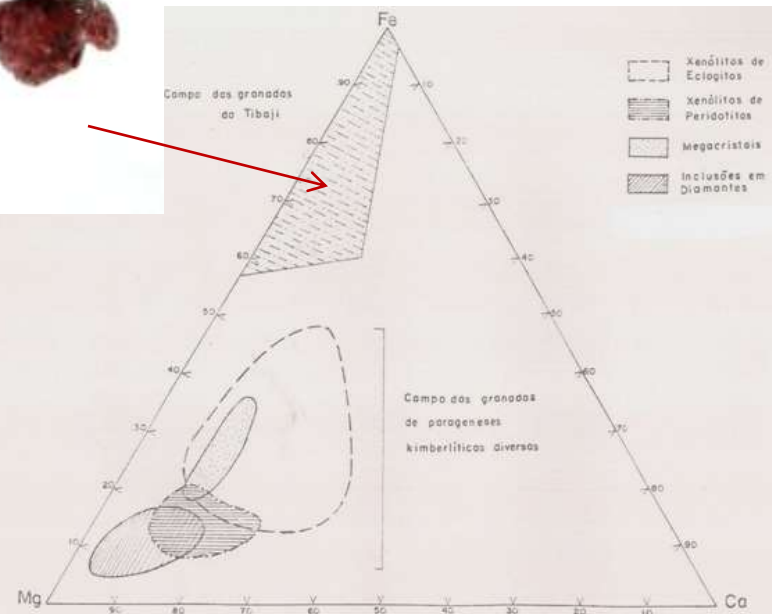
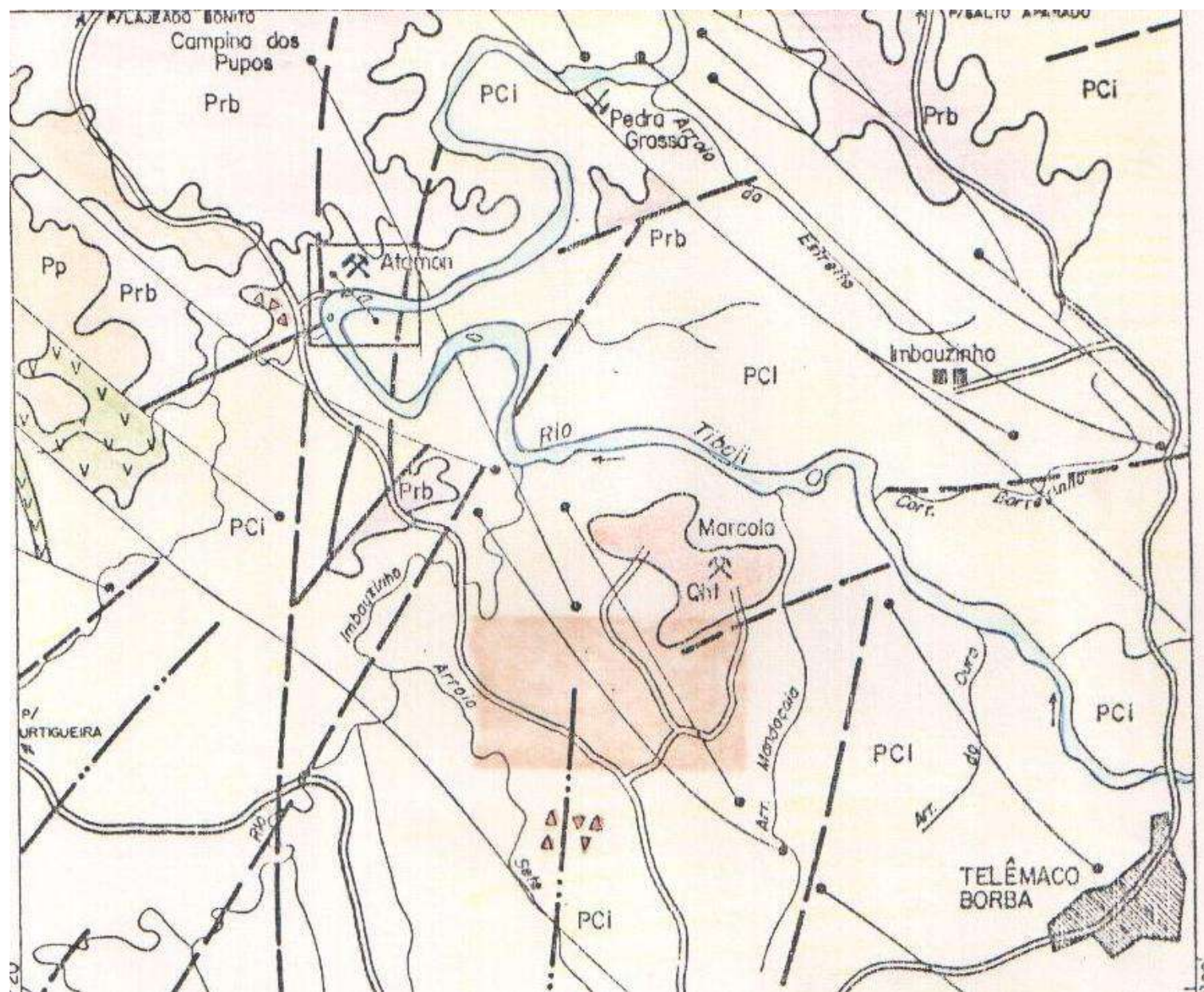


FIGURA 37 — Diagrama comparando os campos composicionais das granadas do Tibaji, com granadas de paragéneses kimberlíticas diversas. Observa-se que o material estudado situa-se fora do campo das granadas da paragénesis kimberlítica, indicando proveniência de outro tipo de rocha. Os campos correspondentes às paragéneses kimberlíticas foram extraídos de Svisero et al. (1987).





Monção do Marcola



Cascalho eluvionar – Monchão do Marcola

Os diamantes

Neste período foram retirados pela Mineropar três grandes lotes:

- o primeiro com **1.628** pedras, pesando 456,11ct (0,28ct por pedra na média), que foi comercializado em agosto de 1985 por US\$30.000,00, com um preço médio de US\$ 66,00/ct.

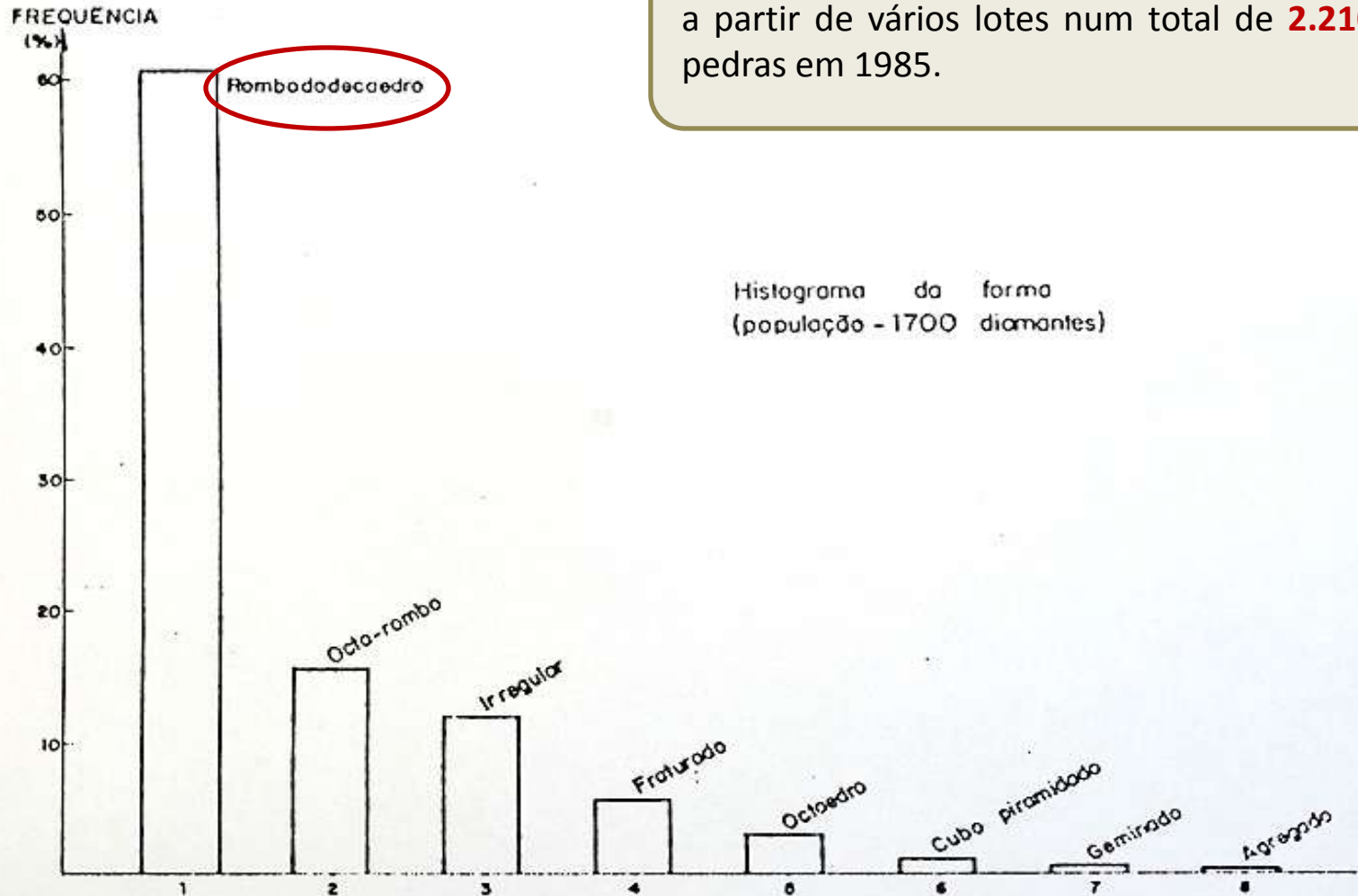
- o segundo com **3.206** pedras, pesando 848,90ct (0,26ct por pedra na média), que foi comercializado em novembro de 1985 por US\$ 45.600,00, com um preço médio de US\$ 54,00/ct.

- o terceiro com **1.907** pedras, pesando 531,96ct (0,28ct por pedra na média), que foi comercializado em janeiro de 1986 por US\$38.000,00, com um preço médio de US\$ 71,00/ct.

Este lote foi estudado por Svisero na sua morfologia e cores em 1985.



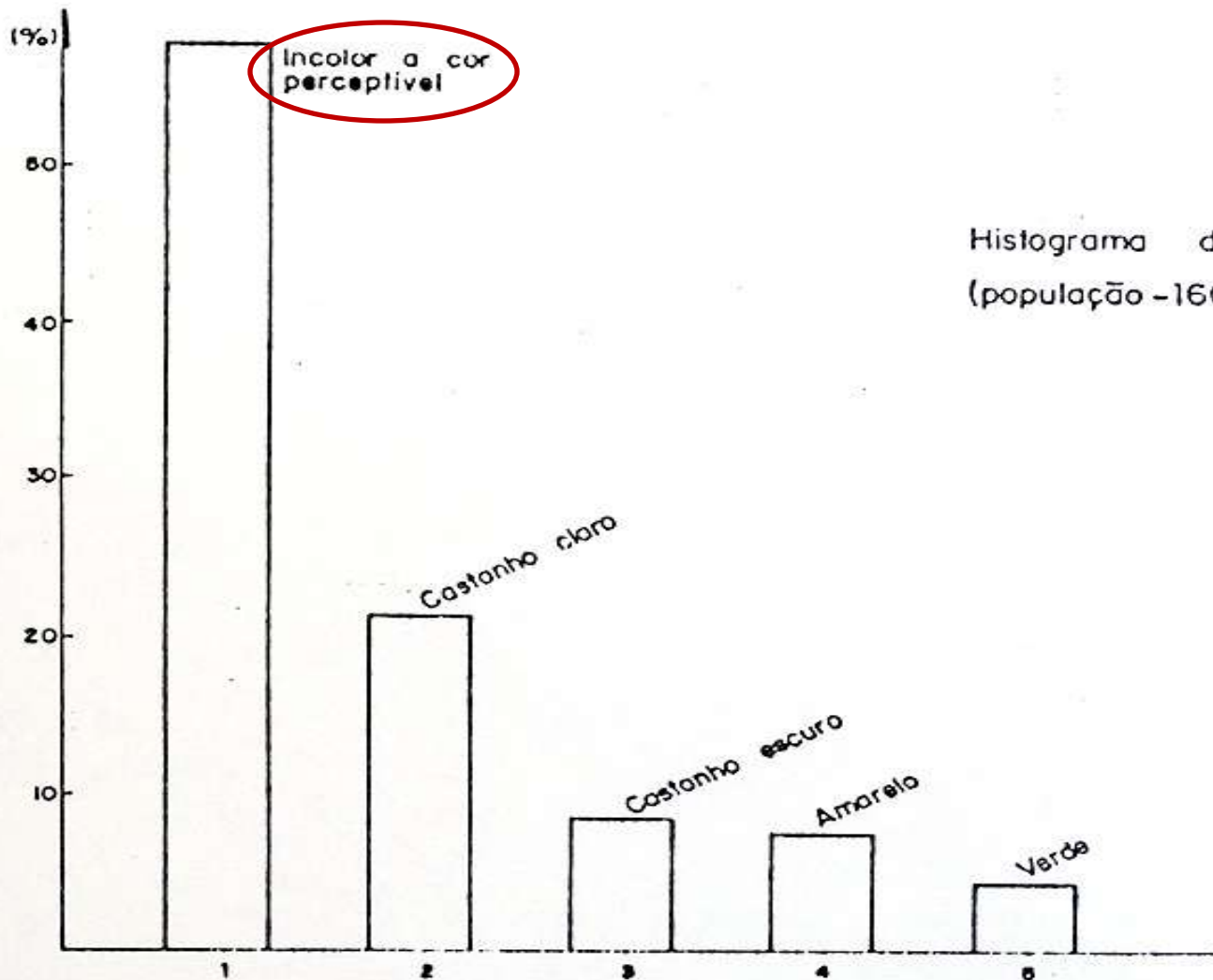
Gráfico Chieregati (1989)



Chieregati (1989) caracterizou a morfologia a partir de vários lotes num total de **2.210** pedras em 1985.

Gráfico Chieregati (1989)

FREQUÊNCIA



Histograma da cor
(população - 1605 diamantes)



**Estrias glaciais em arenito
Itararé - Wimarsum**

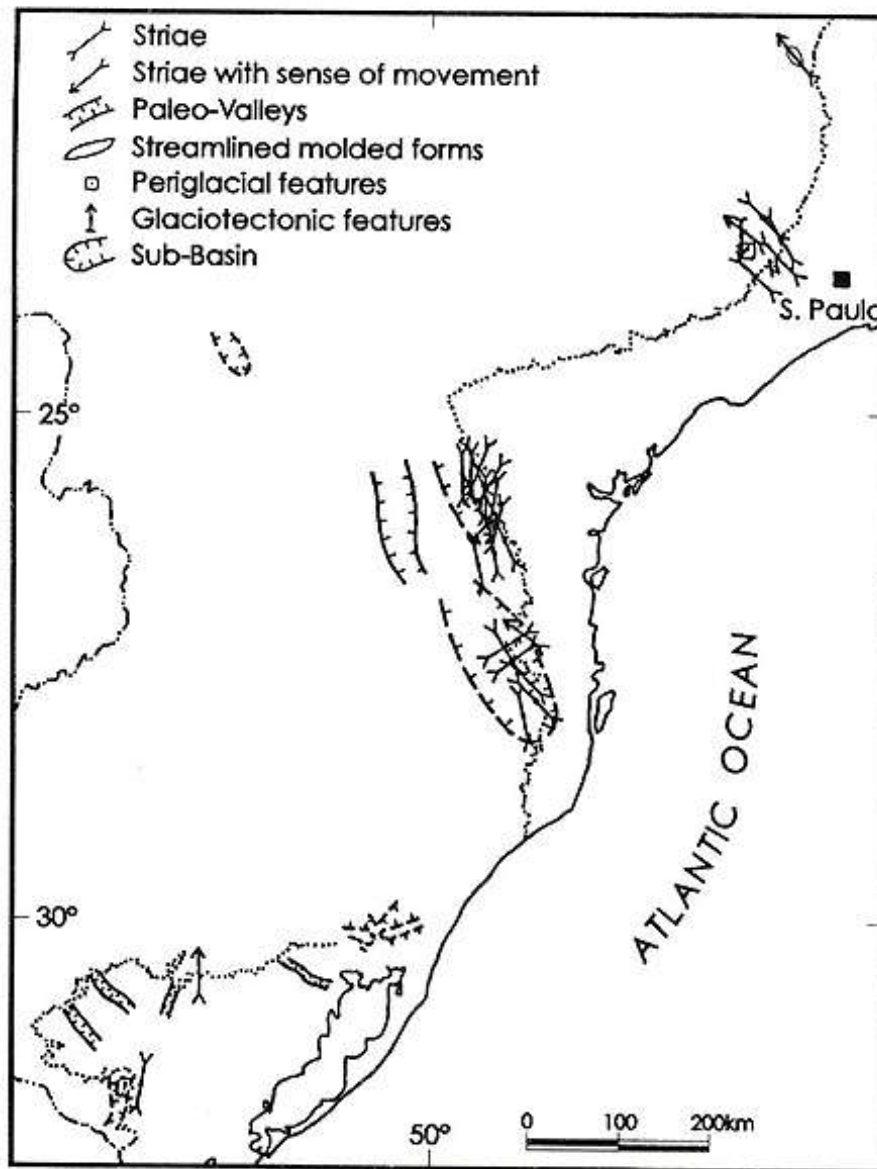


Fig. 7. Paleo-ice flow directions for the Itararé Subgroup along the eastern margin of Paraná Basin. Data from several sources, partially reinterpreted.

		Imprecisão na evidência		
		$S_c=S$	$S_a=S,-S$	$S_n=-S$
Impre- cisão concei- tual	$P_c=P$	R	R	R
	$P_a=P,-P$	R	R	R
	$P_n=-P$	R	R	R

Figura 1 - Diagrama de estrutura de raciocínio considerando as incertezas experimentais ou observacionais em S, e as incertezas conceituais em P. Podem ser avaliados relativamente às expectativas (R) quanto à implicação (incerteza relacional) dos três domínios de S nos três domínios de P.



**Aproveitamento de resíduos
Liccardo & Chodur 2008**

